

A-817

2/II-42

ОБЪЕДИНЕННЫЙ  
ИНСТИТУТ  
ЯДЕРНЫХ  
ИССЛЕДОВАНИЙ

Дубна.

292/2-72



P7 - 6165

6165

У.А.Арифов, Э.С.Мухамадиев,  
Э.С.Парилис, А.С.Пасюк

СОВЕТСКО-ГЕРМАНСКИЕ  
НАУЧНО-ИССЛЕДОВАТЕЛЬСКИЕ  
СОТрудНИЧЕСТВО

ОБ ИДЕНТИФИКАЦИИ МНОГОЗАРЯДНЫХ ИОНОВ  
ПО ВЫЗЫВАЕМОЙ ИМИ ЭЛЕКТРОННОЙ ЭМИССИИ

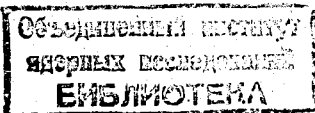
1971

P7 - 6165

У.А.Арифов, Э.С.Мухамадиев,  
Э.С.Парилис, А.С.Пасюк

ОБ ИДЕНТИФИКАЦИИ МНОГОЗАРЯДНЫХ ИОНОВ  
ПО ВЫЗЫВАЕМОЙ ИМИ ЭЛЕКТРОННОЙ ЭМИССИИ

Направлено в ЖТФ



## Введение

В настоящее время для синтеза трансурановых элементов, получения нейtronобогащенных и протонобогащенных изотопов, спонтанно делящихся изомеров и для других задач, связанных с изучением строения атомного ядра, используются ускорители тяжелых многозарядных ионов<sup>/1/</sup>. Эти задачи требуют все большего и большего увеличения атомного веса ускоряемых ионов, а, следовательно, и их заряда. Разрабатываемые вновь и усовершенствованные источники многозарядных ионов обычно исследуются на испытательных стендах.

При анализе ионного пучка на масс-анализаторе происходит разделение ионов по  $A/Z$  ( $A, Z$  – масса и заряд иона соответственно), причем в один пучок попадают пары ионов, соответствующие равным или близким значениям этого отношения ( $\text{Ar}_{40}^{5+}$  и  $\text{O}_{16}^{2+}$ ,  $\text{Kr}_{84}^{3+}$  и  $\text{N}_{14}^{+}$ ,  $\text{Kr}_{84}^{7+}$  и  $\text{C}_{12}^{+}$ ,  $\text{Xe}_{132}^{11+}$  и  $\text{C}_{12}^{+}$  и т.д.).

Возникает проблема количественной оценки ионов, входящих в эти пары. Для этой цели был предложен метод идентификации многозарядных ионов по вызываемой ими потенциальной электронной эмиссии из металла<sup>/2/</sup>.

## §1. Краткий анализ механизма эмиссии и методика идентификации

При сближении многозарядного иона с поверхностью металла образуется возбужденная система, поскольку глубокие уровни иона вакантны, и высоколежащие энергетические зоны металла заполнены электронами. Подобная система быстро релаксирует путем Оже-эффекта. Когда один из электронов металла заполняет ионную вакансию, передавая избыточную энергию другому электрону, происходит нейтрализация иона с одновременной эмиссией электрона из металла (рис. 1).

Теоретическая оценка показывает, что эта эмиссия сильно зависит от степени ионизации иона и на 1-2 порядка превосходит эмиссию, вызываемую действием однозарядных ионов.

Метод идентификация основан на том, что эмиссия электронов нелинейно зависит от заряда иона. Действительно, вероятность Оже-нейтрализации иона на поверхности металла на неглубокий уровень больше, чем на глубокий, а с другой стороны, вероятность выхода электронов из металла растет с их энергией. Оптимальное значение выхода электронов достигается примерно при шаге в 25-30 эв, и нейтрализация глубоких уровней происходит ступенчато с шагом того же порядка. Это означает, что эмиссия под действием многозарядного иона пропорциональна полной энергии нейтрализации, которая примерно пропорциональна  $Z^2$ .

Задача идентификации многозарядных ионов состоит в том, что для смешанных пучков требуется определить долю  $N_z$  -многозарядных и  $N_1$  -однозарядных ионов в пучке ( $N_1 + N_z = 1$ ).

В чистом пучке определение коэффициента ионно-электронной эмиссии  $\gamma_z$  сводится к измерению тока ионов на мишень -  $I_M$  и тока вторичных электронов на коллектор -  $I_e$ , причем

$$\gamma_z = \frac{I_e}{I_M} \cdot Z. \quad (1)$$

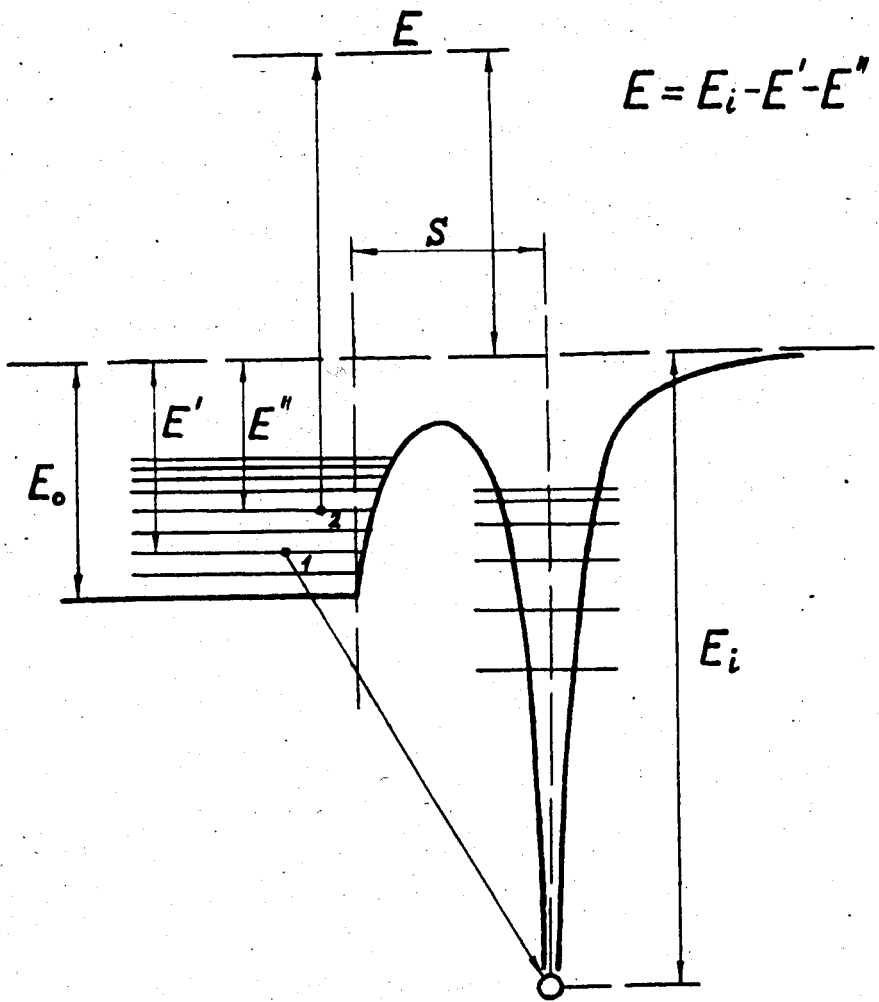


Рис. 1. Схема Оже-нейтрализации.

Для смешанного пучка применяется формула:

$$\gamma = \frac{N_z(\gamma_z - \gamma_1) + \gamma_1}{N_z(z-1) + 1} \quad (2)$$

где  $\gamma_{\text{изм.}}$  — измеренная величина коэффициента вторичной эмиссии,  $\gamma_z$  — коэффициент для многозарядной компоненты,  $\gamma_1$  — коэффициент для однозарядной компоненты,  $N_z$  — доля многозарядных ионов в пучке. Из этих величин  $\gamma_{\text{изм.}}$  и  $\gamma_1$  могут быть определены экспериментально,  $N_z$  является искомой величиной, а  $\gamma_z$  может быть определен либо интерполяцией значений  $\gamma_{z-1}$  и  $\gamma_{z+1}$ , либо из зависимости  $\gamma$  от полной энергии нейтрализации многозарядного иона. Тогда

$$N_z = \frac{\gamma_{\text{изм.}} - \gamma_1}{\gamma_z - \gamma_{\text{изм.}}(z-1) - \gamma_1} \quad (3)$$

если 1)  $\gamma_{\text{изм.}} = \gamma_1$ , то  $N_z = 0$  и  
2)  $\gamma_{\text{изм.}} = \frac{\gamma_z}{z}$ , то  $N_z = 1$ .

Благодаря тому, что  $\gamma_z \sim Z^2$ , идентификация многозарядных ионов по вызываемой ими электронной эмиссии принципиально возможна.

## §2. Экспериментальная установка

Опыты проводились на стенде испытания источников многозарядных ионов ЛЯР ОИЯИ<sup>/3/</sup>. Масс-спектрометрический анализ пучка ускоренных многозарядных ионов осуществляется электромагнитным способом в однородном магнитном поле с  $H = 4.6$  кэ при повороте на  $180^\circ$  (рис. 2). Ускоряющее напряжение  $U = 10 + 15$  кв. При этом ионы с одинаковым отношением  $A/Z$  описывают дугу радиуса

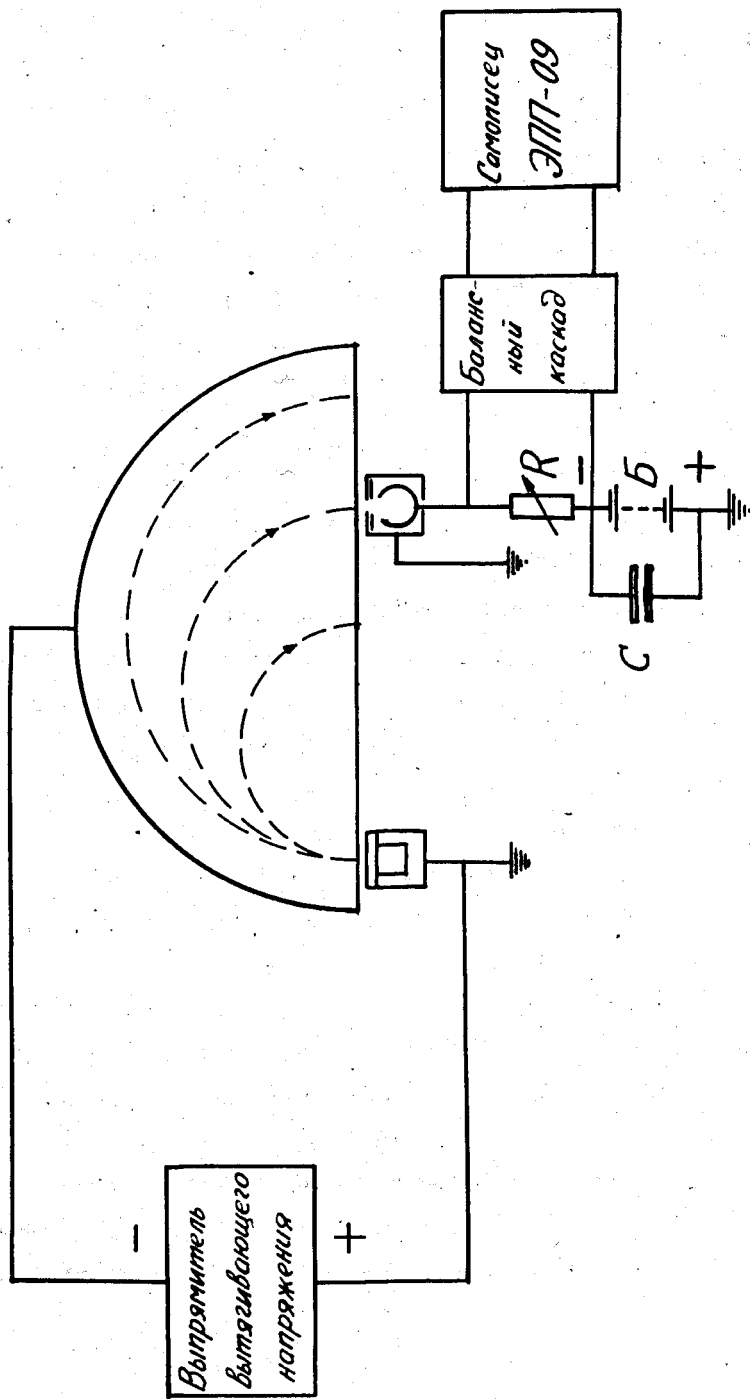


Рис. 2. Блок-схема анализа ионов.

$$R = \frac{4,56}{H} \sqrt{\frac{UA}{Z}} \quad (4)$$

где  $R$  - в см,  $H$  - в кэрст,  $U$  - в кв.

Поскольку мишень находится в однородном магнитном поле, вторичные электроны будут заворачиваться вокруг силовых линий, описывая спирали с радиусом  $r = \frac{3,4}{H} \sqrt{E}$ , где  $r$  - в см,  $H$  - в эрст,  $E$  - в эв. Для  $E < 1$  кэв,  $r < 10^{-2} H$  см, что благоприятствует их сбору на коллектор. Наиболее удобным положением мишени будет наклонное по отношению к направлению поля.

Конструкция мишень-коллекторной системы и электрическая схема измерений показана на рис. 3. Конструкция включает мишень, изготовленную из листового молибдена в виде половины усеченного конуса, и коллектора для вторичных электронов (тоже из молибдена).

Заключенная в медный экран мишень-коллекторная система укрепляется на механизме перемещения, который, двигаясь вдоль фокальной плоскости, регистрирует ионы с разными  $A/Z$ . С этим механизмом связан сельсин-датчик, который управляет сельсином-приемником, установленным на самопищущем приборе ЭПП-09 для протягивания бумажной ленты. Таким образом, в случае необходимости на диаграммную ленту можно записывать токи ионов на мишень и по ним определять кратность заряда ионов -  $Z$ .

Источник ионов работает в импульсном режиме, поэтому токи ионов также модулированы. Это позволяет для измерений тока первичных ионов и вторичных электронов применять импульсную методику с регистрацией токов на экране осциллографа подобно тому, как это описано в <sup>4/</sup>.

При измерении первичного тока ионов мишень и коллектор вторичных электронов соединяются между собой, образуя фарадеев цилиндр. Для измерения тока вторичных электронов между мишенью и коллектором прикла-

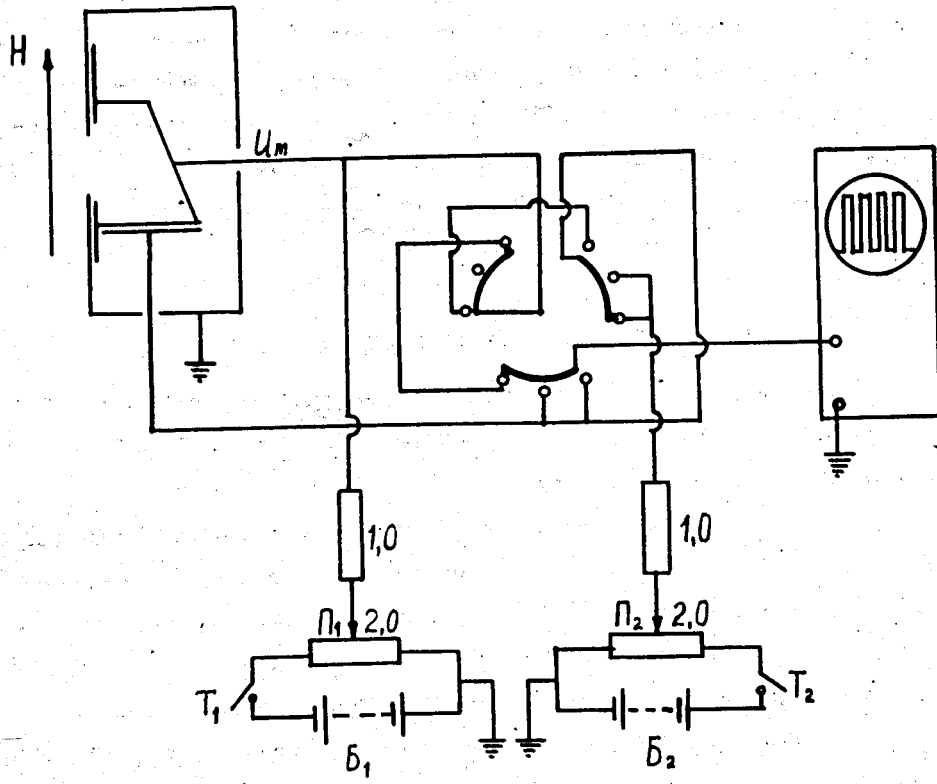


Рис. 3. Электрическая схема измерений.

дается напряжение для вытягивания электронов, эмиттируемых из мишени, и для задержки ионов, отраженных от поверхности и выбитых из мишени.

Как видно из рис. 2, вблизи приемной части происходит почти полное торможение ионов. Нужную энергию ионы приобретают под действием ускоряющего напряжения  $U_m$ , приложенного на мишень через потенциометр  $P_1$ . Перед измерениями мишень не прогревалась.

Камера стенда откачивалась одним диффузионным паромасляным насосом со скоростью откачки 5000 л/сек. До работы источника давление остаточных газов в объеме не превышало  $(4+5) \cdot 10^{-6}$  торр. Во время работы источника давление в объеме повышалось до  $(1+2) \cdot 10^{-5}$  торр.

### §3. Результаты измерений и их обсуждение

При помощи описанной системы были произведены измерения эмиссии электронов для многозарядных ионов Ar, Kr, Xe, S и Cu на молибденовой и вольфрамовой мишнях. Были сняты зависимости  $\gamma_z$  от энергии ионов и кратности заряда. Кроме того во многих пучках были определены соотношения между много- и однозарядными ионами.

На рис. 4,5,6 представлены зависимости  $\gamma_z$  от энергии ионов Ar, Kr и Xe для молибденовой мишени. Из рисунков видно, что коэффициент потенциальной электронной эмиссии для многозарядных ионов зависит от скорости бомбардирующих ионов; при этом чем больше скорость иона, тем меньшее значение имеет  $\gamma_z$ , так же как в опытах Хэгструма.<sup>15/</sup> С увеличением скорости иона время прохождения ионом расстояния, на котором с наибольшей вероятностью происходит Оже-переход, уменьшается. В результате по мере роста скорости многозарядные ионы внедряются в мишень, испытав лишь частичную нейтрализацию, что приводит к уменьшению  $\gamma_z$ . Чем выше кратность заряда иона  $Z$ , тем круче спад кривых.

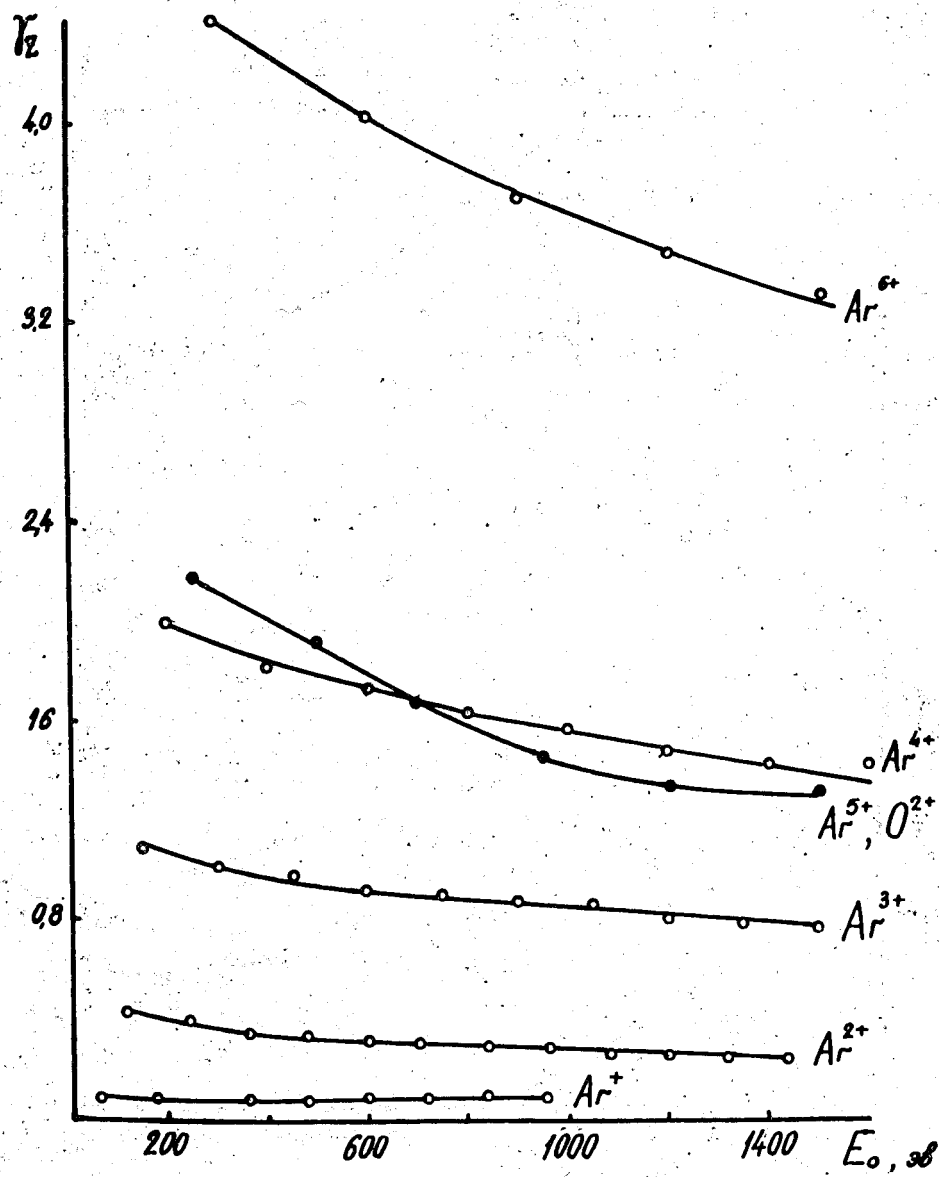


Рис. 4. Зависимость коэффициента  $\gamma_z$  от энергии ионов аргона.

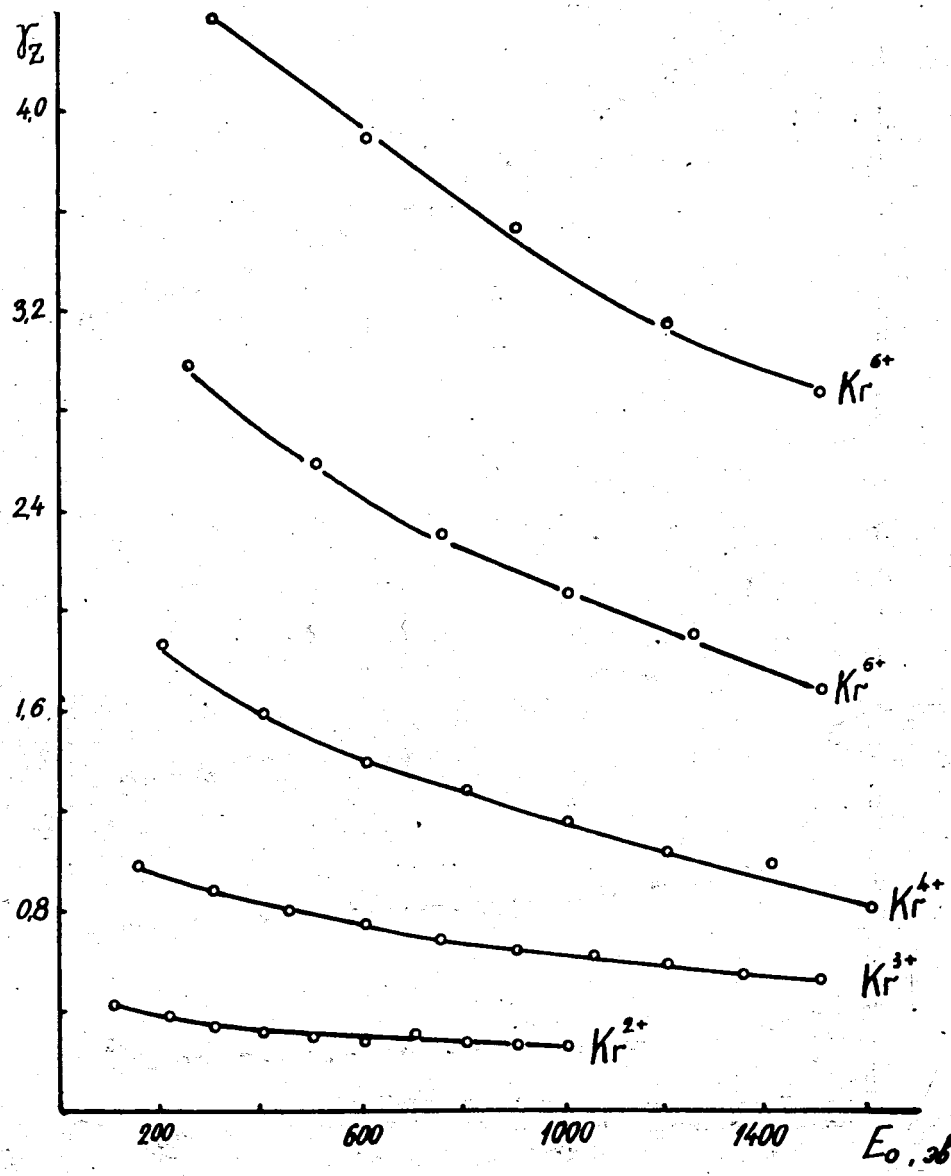


Рис. 5. Зависимость коэффициента  $\gamma_z$  от энергии ионов криптона.

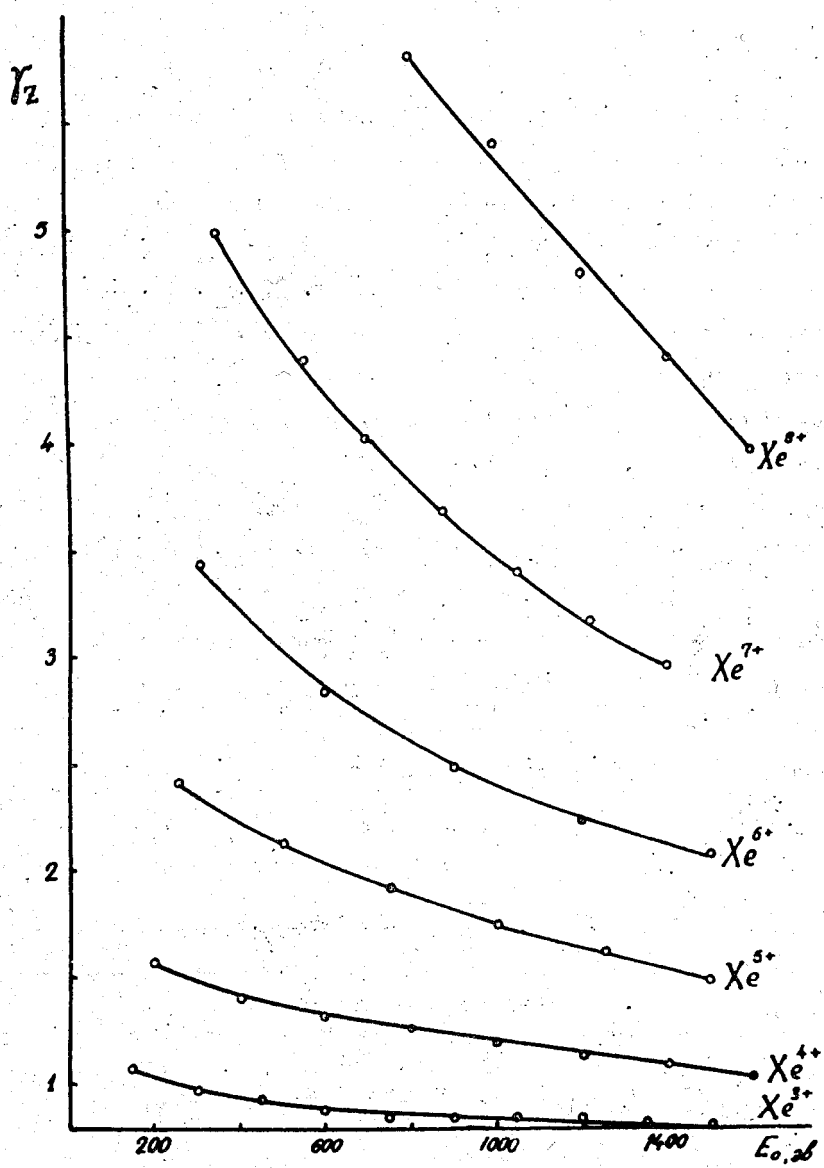


Рис. 6. Зависимость коэффициента  $\gamma_z$  от энергии ионов ксенона.

На рис. 7 представлена зависимость  $\gamma_z = f(z)$  для чистых пучков ионов от  $Kr^{2+}$  до  $Kr^{7+}$ , а также для смешанных пучков  $Kr_{84}^{3+} + (N_{14})_2^+$ ,  $Kr_{84}^{6+} + N_{14}^+$ ,  $Kr_{84}^{7+} + C_{12}^+$  при энергии ионов  $E_0 = 400$  эв. Видно, что для чистых пучков ионов криптона зависимость  $\gamma_z = f(z)$ , как и следует из теоретической оценки<sup>1/2</sup>, почти квадратичная, а для смеси ионов криптона + ионов примеси  $\gamma_z$  изм. меньше, чем для чистого пучка криптона.

При этом коэффициент  $\gamma_z$  измерялся непосредственно, так как изотоп  $Kr_{86}$  дает отдельный пик и он не загрязнен примесью. Коэффициент  $\gamma_1$  для ионов примесей был определен непосредственным измерением коэффициента электронной эмиссии для одно- и двухзарядных ионов углерода, азота и кислорода при различных энергиях ионов (рис. 8).

Доля многозарядных ионов  $N_z$  для смешанных пучков определялась по формуле (3).

Так, например, для смеси  $Kr_{84}^{7+}$  и  $C_{12}^+$  были измерены  $\gamma_z = 5,35$ ;  $\gamma_1 = 0,2$ ;  $\gamma_{изм.} = 0,52$ . Тогда при  $Z = 7$  и  $N_z + N_1 = 1$  находим, что  $N_z = 0,15$  и  $N_1 = 0,85$ , т.е. содержание  $Kr_{84}^{7+} \sim 15\%$   $C_{12}^+ \sim 85\%$ . Для других смешанных пучков криптона получены следующие значения  $N_1$  и  $N_z$ : для смеси  $Kr_{84}^{6+}$  и  $N_{14}^+$   $N_1 = 88\%$ ,  $N_z = 12\%$ , для смеси  $Kr_{84}^{3+}$  и  $(N_{14})_2^+$   $N_1 = 25\%$ ,  $N_z = 75\%$ .

Величины  $N_1$  и  $N_z$ , определенные для остальных пар ионов, приведены в таблице 1.

Таблица 1

Смесь	М.з.и.	примесь	
		$N_z$ , %	$N_1$ , %
1. $S_{32}^{2+}$ и $O_{16}^+$		71	29
2. $S_{32}^{4+}$ и $O_{16}^{2+}$		18	82
3. $S_{32}^{6+}$ и $O_{16}^{3+}$		11	89

4.	$S_{32}^{7+}$	и	$N_{14}^{3+}$	3	97
5.	$Cu_{64}^{4+}$	и	$O_{16}^{+}$	80	20
6.	$Cu_{64}^{8+}$	и	$Ar_{40}^{5+} + O_{16}^{2+}$	2	98
x/					
7.	$Ar_{40}^{5+}$	и	$O_{16}^{2+}$	37	63
8.	$Kr_{84}^{3+}$	и	$N_{28}^{+}$	75	25
9.	$Kr_{84}^{6+}$	и	$N_{14}^{+}$	12	88
10.	$Kr_{84}^{8+}$	и	$C_{12}^{+}$	15	85

x/  
Количество ионов  $Ar_{40}^{5+}$  и  $O_{16}^{2+}$  определялось в отсутствие  
ионов  $Cu_{64}^{8+}$ .

На рис. 9 отложены экспериментально найденные значения коэффициента эмиссии под действием медленных многозарядных ионов  $Ne$ ,  $Ar$ ,  $Kr$  и  $Xe$  по данным Хэгструма<sup>/5/</sup> и настоящей работы. По оси абсцисс отложены величины  $\sum_{i=1}^n V_i^{i+} - 2\phi$ , где  $V_i^{i+}$  – i-ый потенциал ионизации,  $\phi$  – работа выхода металла. Как видно из рисунка, экспериментальные данные хорошо укладываются на прямую

$$y = k \left( \sum_{i=1}^n V_i^{i+} - 2\phi \right), \quad (5)$$

где  $k \sim 0,0183$  эл/эв.ион.

Линейная зависимость  $y_z$  от суммарной энергии нейтрализации подтверждает предположение о ступенчатом характере процесса и позволяет предсказать величину  $y_z$  для ионов более высокой зарядности. Так, например, следует ожидать, что эмиссия под действием медленных 10-зарядных ионов цинка достигает 20 электронов на ион, 11-зарядных ионов кальция – 30 электронов на ион.

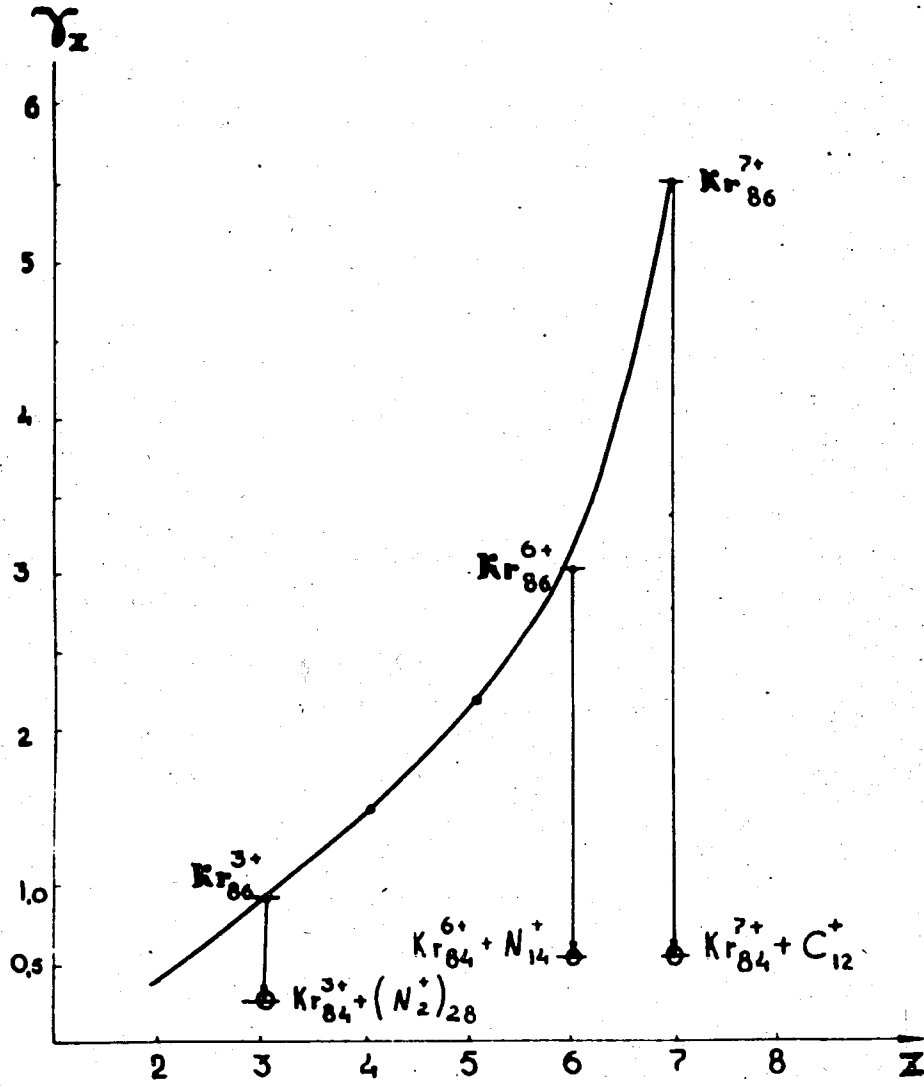


Рис. 7. Зависимость коэффициента  $\gamma_z$  от кратности заряда  $Z$  для чистых и смешанных пучков ионов криптона при энергии ионов  $E_0 = 400$  эв.  
 ● — ионы криптона без примеси, ○ — смешанные пучки ионов.

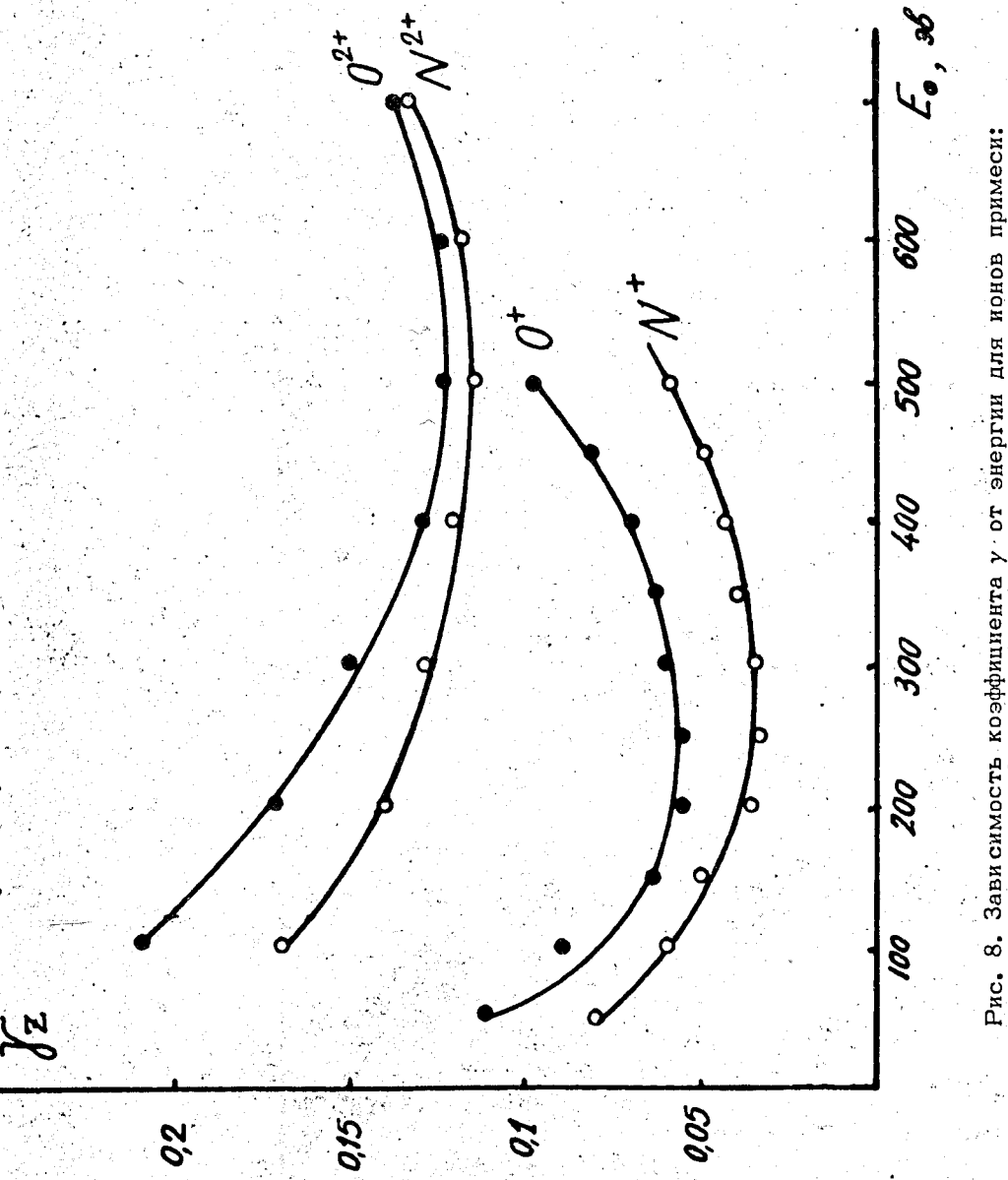


Рис. 8. Зависимость коэффициента  $y$  от энергии для ионов примесей:  
 ○ — ионы азота, ● — ионы кислорода.

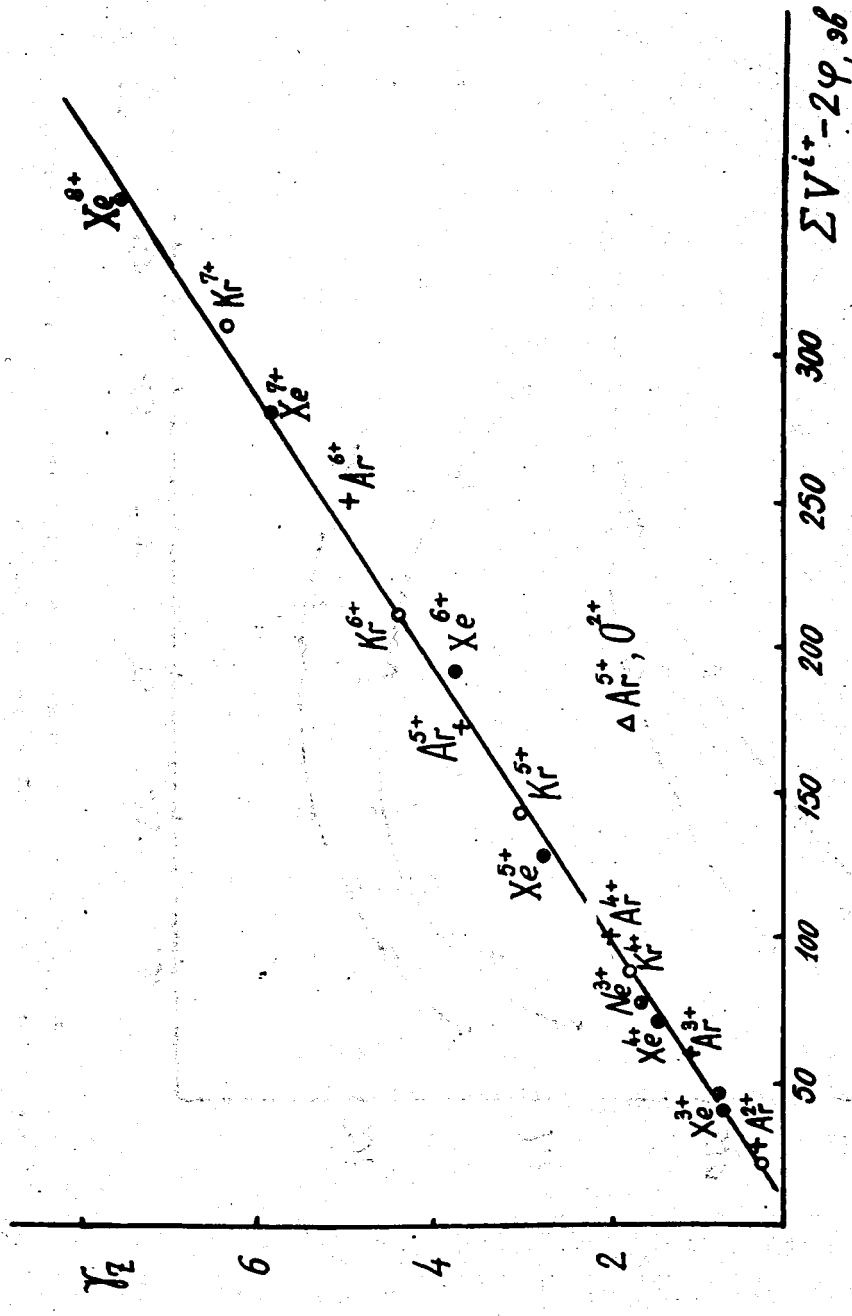


Рис. 9. График зависимости коэффициента потенциальной эмиссии от суммарной энергии ионизации нейтрализации медленных многоэлектронных ионов.

Кроме того, этот график можно использовать непосредственно для определения доли многозарядных ионов в смешанном пучке. Для этого в формулу (3) нужно подставить измеренные значения  $\gamma$ <sub>изм</sub> в смешанном пучке и величины  $\gamma_z$  и  $\gamma_1$ , полученные с помощью графика (рис. 9) в тех случаях, когда они не измерены экспериментально. Такой метод оценки, несомненно, менее точен, чем при непосредственном измерении  $\gamma_z$  и  $\gamma_1$ .

Для примера на графике указано значение  $\gamma$ <sub>изм</sub> для смешанного пучка, содержащего 47% ионов  $Ar_{40}^{5+}$  и 53% ионов  $O_{16}^{2+}$ .

Из уравнения (3) следует, что погрешности в определении доли многозарядных ионов  $N_z$  и ионов примеси  $N_1$  в смешанных пучках зависят от точности измерения коэффициентов  $\gamma_z$ ,  $\gamma$ <sub>изм</sub> и  $\gamma_1$ .

Неполная нейтрализация многозарядных ионов приводит к уменьшению коэффициента потенциальной эмиссии, что оказывается на точности определения  $\gamma_z$ . Чтобы уменьшить ошибку измерения, следует проводить при наименьших энергиях ионов. Малая энергия ионов также необходима, чтобы исключить кинетическую эмиссию, которая проявляется при скорости иона  $(5+7) \cdot 10^6$  см/сек и маскирует эмиссию Оже-электронов.

### Выводы

1. Указана принципиальная возможность идентификации многозарядных ионов на фоне ионов меньшего заряда по вызываемой ими потенциальной эмиссии и дано теоретическое обоснование предложенного метода.

2. Разработана экспериментальная методика измерения коэффициента электронной эмиссии под действием медленных ионов в условиях сильного магнитного поля.

3. Полученные экспериментальные данные свидетельствуют о резком росте коэффициента электронной эмиссии с увеличением заряда иона  $Z$ . В пределах измеренных значений  $Z$  коэффициент  $u_z$  меняется линейно с ростом суммарной энергии нейтрализации многозарядного иона.

4. Эмиссия, вызываемая действием смешанных пучков, содержащих примесь одно- и двухзарядных ионов легких элементов, как и предполагалось, оказалась значительно меньше эмиссии, вызываемой действием многозарядными ионами.

5. Измерения коэффициента потенциальной электронной эмиссии под действием чистых и смешанных пучков ионов позволяет оценить долю многозарядных ионов в пучке.

Авторы считают своим приятным долгом выразить искреннюю благодарность академику Г.Н. Флерову и Е.Д. Воробьеву за большую поддержку и внимание. Нам также приятно поблагодарить Ю.П. Третьякова и Р.И. Иванникова за помощь в выполнении данной работы.

#### Л и т е р а т у р а

1. G.N. Flerov. Proceeding of the United Nations International Conference on the Peasful Uses of Atomic Energy, Geneva, P/2299, 14, 151 (1958).
2. Э.С. Парилис. Препринт ОИЯИ Р7-3355, Дубна (1967).
3. А.С. Пасюк, Ю.П. Третьяков, С.К. Горбачев. Препринт ОИЯИ, 7-3370, Дубна, 1967. Атомная энергия, т. 24, вып. 1, стр. 21, 1968.
4. У.А. Арифов. Взаимодействие атомных частиц с поверхностью твердого тела "Наука", М., 1968.
5. H.D. Hagstrum. Phys. Rev., 96, 325. (1954).

Рукопись поступила в издательский отдел  
14 декабря 1971 года.